

## ارزیابی مقاومت و شکل پذیری ساختمانهای بتن مسلح کوتاه

فریبرز ناطقی‌الهی<sup>\*</sup> و نقدعلی حسین‌زاده<sup>\*\*</sup>

پژوهشگاه بین‌المللی زلزله‌شناسی و مهندسی زلزله

(دریافت مقاله: ۷۸/۱۲/۸ - دریافت نسخه نهایی: ۸۰/۶/۱۹)

**چکیده:** در این مقاله یک روش تحلیلی برای ارزیابی اینمی لوزه‌ای ساختمانهای بتنی مسلح کوتاه و کم ارتفاع ارائه می‌شود. در این روش، ارزیابی براساس مشخصه نیرو - جابه جایی طبقه اول یا ضعیفترین طبقه انجام می‌گیرد. معیار ارزیابی اینمی سازه براساس دو پارامتر مقاومت و شکل پذیری در حالت زلزله قوی ( $PGA=0.3\text{ g}$ ) و زلزله شدید ( $PGA=0.45\text{ g}$ ) استوار است. مکانیزم شکست سازه به صورت خمشی، برشی و برشی - خمشی طبقه‌بندی می‌شود. ارزیابی اینمی در پنج گام متوالی انجام می‌گیرد که عبارت‌اند از: الف - مدل سازی سیستم سازه‌ای، ب - تعیین مدل تحلیلی غیرخطی طبقه، ج - ارزیابی اینمی مقاومت، د - ارزیابی اینمی شکل پذیری و ه - ترکیب ارزیابی اینمی. نحوه ارزیابی براساس یک ماتریس معیار پیشنهاد شده استوار است.

**واژگان کلیدی:** مقاومت، شکل پذیری، مکانیزم شکست، ساختمانهای بتن مسلح کوتاه

## Siesmic Assessment of Ductility and Strength Capacities of Low-Rise R. C. Buildings

F. Nateghi-A and N. A. Hosseinzadeh

International Institute of Earthquake Engineering and Seismology, Tehran, Iran

**Abstract:** This paper presents a methodology for the assessment of ductility and strength capacities in low-rise buildings. This method utilizes the characteristics of force-displacement for the lowest story level or considers the weakest story in any given low-rise building for its primary analysis. Calculations are based on two levels of earthquake motions, namely; strong earthquakes ( $PGA=0.3\text{ g}$ ), and very strong earthquakes ( $PGA=0.45$ ). Failure mechanism for the structure is established based on three criteria which are: a) bending mode, b) shear mode, and c) shear-bending mode. Evaluation is then performed using a five step procedure starting with a: modeling the building, b) developing the non-linear properties of the model, c) strength calculations, d) ductility calculations, and finally, e) assessing the safety of the building under consideration. All these evaluations are performed based on a matrix format, which simplifies the whole procedure. Developed equations and step-by-step procedure are presented and described in this paper. Satisfactory results are obtained from the use of the method developed.

**Keywords:** Strength, Ductility, Failure mechanism, Low-Rise R. C. Buildings

\*\* - دانشجوی دکترا

\* - استاد

**۱- مقدمه**

قاب خمثی یا دیوار برشی کاربرد دارد. برای ارزیابی ساختمنهای موجود، ضوابط طرح مقاوم لرزه‌ای ارائه شده در مرجع [۹] در نظر گرفته شده است. قابلیت کاربرد این روش با یک مثال عددی بر روی یک ساختمان نمونه ساخته شده در تهران نشان داده شده است. این روش گرچه برای ساختمنهای بتی مسلح کوتاه ارائه شده است ولی با اصلاحات مناسب می‌توان آن را برای ساختمنهای با ارتفاع متوسط نیز به کار برد.

**۲- روش ارزیابی ایمنی****۲-۱- اصول ارزیابی ایمنی**

جامعترین روش برای ارزیابی ایمنی سازه‌ها، تحلیل دینامیکی غیرخطی سه‌بعدی است. اما چون رفتار غیرخطی مصالح در اعضای سازه‌ای و پی‌ها (از جمله اندرکنش خاک - سازه) و مشخصات حرکات لرزه‌ای زمین را نمی‌توان به دقت مدل‌سازی کرد، به عبارت دیگر، با توجه به عدم قطعیت در رفتار لرزه‌ای سازه‌ها و مشخصات زلزله ورودی می‌توان از روش‌های تقریبی معین و ساده شده نیز استفاده کرد.

ارزیابی سازه‌ای بیان شده در این مقاله، از یک مجموعه گام‌های متوالی تشکیل شده است. در این روش مرحله‌بندی شده، فرضیات و جزییات محاسبات در هر مرحله برای ارزیابی مطمئن سازه بررسی می‌شود. با استفاده از این روش، ارزیابی مجموعه وسیعی از ساختمنهای تحت اثر حرکات قوی زلزله به صورت تحلیلی و سبتاً سریع امکان‌پذیر می‌شود.

در کلان، برای ارزیابی یک روش سه‌مرحله‌ای پیشنهاد شده است. در اولین مرحله، مشخصه بار - جابه جایی طبقه اول یا ضعیفترین طبقه به صورت تقریبی تعیین می‌شود. با استفاده از این مشخصه پاسخ لرزه‌ای سازه به کمک طیف پاسخ خطی برای ارزیابی مقاومت ایمن و طیف پاسخ غیرخطی برای ارزیابی شکل پذیری این به دست می‌آید. سپس با در نظر گرفتن این دو مولفه، ترکیب ارزیابی برای مشخص کردن حاشیه ایمنی سازه به عمل می‌آید. مراحل انجام ارزیابی در پنج گام قابل محاسبه است [۹] که به شرح کامل آنها متعاقباً پرداخته

تعداد بیشماری از ساختمنهای بتی مسلح موجود که طی دهه‌های گذشته ساخته شده‌اند، براساس ویرایشهای قدیمی آئین نامه‌های زلزله طراحی و ساخته شده‌اند که عموماً ضوابط آین نامه‌های امروزی را تامین نمی‌کنند. به علاوه به علت ضعف تکنولوژی ساخت و مشکلات اجرایی، کفايت عملکرد ساختمنهای موجود به عنوان یک سوال اساسی مطرح است. بنابراین ارائه یک روش منطقی و معقول برای ارزیابی آسیب‌پذیری لرزه‌ای مجموعه بزرگی از ساختمنهای موجود در مقابل خطر زلزله‌های قوی و مخرب، هم برای صحابان و ساکنان ساختمنها و هم برای مسئولین مملکتی به ویژه به لحاظ مدیریت بحران امری مهم و اجتناب ناپذیر است.

با توجه به اهمیت موضوع و نیاز دستیابی به ابزاری برای ارزیابی اینه موجود، روش‌های مختلفی توسط پژوهشگران در سراسر گیتی مطرح و پیشنهاد شده است [۸-۱]. این روش‌ها عموماً از دو دیدگاه کاملاً کیفی و یا کاملاً کمی به موضوع برخورد می‌کنند که روش‌های پیشنهادی عموماً یکی از دو روش را مبنای کار خود قرار می‌دهند. روش‌های کیفی از سرعت بالا و لیکن دقت پایین و روش‌های کمی بالعکس از سرعت پایین، هزینه زیاد و دقت خوبی برخوردارند. روش حاضر استفاده بهینه از هر دو روش را مدنظر قرار داده و ضمن داشتن سرعت مناسب برای ارزیابی سازه از دقت قابل توجهی نیز برخوردار است. این روش از مرحله اول که ساده‌ترین مرحله است شروع شده و به مراحل پیچیده‌تر ادامه می‌یابد. ساختمنهایی که ضوابط معیارهای مرحله اول را تامین نکنند، باید در مراحل بعدی با دقت بیشتری مورد ارزیابی قرار گیرند. به این ترتیب، با بهره‌گیری از یک روش مرحله‌ای معقول شبیه غربال کردن با استفاده از تحلیل (کیفی و کمی توامان)، مجموعه وسیعی از ساختمنها قابل بررسی بوده و صرفه‌جویی قابل ملاحظه‌ای در وقت و هزینه محاسبات حاصل می‌شود.

در این مقاله تأکید بر مرحله اول روش چند مرحله‌ای است که برای ساختمنهای بتی مسلح کوتاه و کم ارتفاع با سیستم

مناسب مورد بررسی قرار گرفته و نتایج مقایسه شوند.

خواهد شد.

### ۲-۳-۲- گام مدلسازی تحلیلی

در این گام مشخصات بار - تغییر شکل سیستم سازه‌ای تحت اثر نیروی جانبی در محدوده خطی و غیرخطی تعیین می‌شود. همچنین مدل هیستوتیک مناسب برای پاسخ لرزه‌ای انتخاب می‌شود. برای تعیین مشخصات بار - تغییر شکل، مقاومت ترک خورده‌گی برشی، مقاومت نهایی برشی و مقاومت خمی تمام طبقات محاسبه شده و ساختمانها براساس نوع شکست طبقه‌بندی می‌شوند. نوع شکست براساس مشخصات طبقه اول تعیین می‌شود. اگر شکست در طبقه دیگری اتفاق بیفتد، مقاومت طبقه اول براساس آن اصلاح می‌شود. با مقایسه مقاومت نهایی برشی  $C_{sul}$  مقاومت نهایی برشی  $C_{scl}$  و مقاومت جاری شدن خمی  $C_{byl}$  به صورت ضریب برش پایه، نوع شکست به شکل زیر تعریف می‌شود

$$\begin{array}{ll} C_{byl} < C_{scl} < C_{sul} & \text{شکست خمی} \\ C_{scl} < C_{sul} < C_{byl} & \text{شکست برشی} \\ C_{scl} < C_{byl} < C_{sul} & \text{شکست برشی - خمی} \end{array} \quad (1)$$

در مدل تحلیلی غیرخطی، هر یک از اعضای لرزه بر، مانند ستون یا دیوار مطابق شکل (۲) از ترکیب فنرهای غیرخطی خمی و برشی به صورت سری در نظر گرفته می‌شود.  $K_b$  و  $K_s$  به ترتیب در این شکل نمایانگر سختی سکانت در هر نقطه نمودار بر - تغییر شکل خمی و برشی است. با فرض کف صلب، مدل تحلیلی غیرخطی ساختمان مطابق شکل (۳) از ترکیب فنرهای خمی و برشی به طور موازی در هر طبقه حاصل می‌شود.  $K_{be}$  بیانگر سختی عضو خمی معادل (ترکیب موازی فنرهای خمی) و  $K_{se}$  بیانگر سختی عضو برشی معادل (ترکیب موازی فنرهای برشی) است. مشخصه نیرو - تغییر شکل سیستم معادل (ترکیب سری فنرهای خمی و برشی معادل) از معادله  $(1/k = 1/k_{be} + 1/k_{se})$  به دست می‌آید. برای تعیین مقاومت ترک خورده‌گی برشی، مقاومت نهایی برشی، مقاومت خمی، پریود طبیعی و ضرایب شرکت مددی

### ۲-۴- معيار ارزیابی ايمني

تعريف خسارت مجاز و مشخصات زلزله مهمترین پارامترهای یک روش ارزیابی محسوب می‌شوند. اما مشخصات و شدت زلزله‌های آینده نامعلوم بوده و پاسخ ساختمانها به چنین زلزله‌هایی کاملاً روشن نیست. لذا، بدین منظور در تحقیق حاضر، ابتدا محدوده‌های زلزله قوی ( $PGA=0.3\text{ g}$ ) و زلزله شدید ( $PGA=0.45\text{ g}$ ) و محدوده خسارت تعییرپذیر و خسارت بدون فروریزش مطابق جدول (۱) به عنوان ماتریس معيار در نظر گرفته می‌شود. سپس ماتریس معيار براساس سه نوع مکانیزم شکست: خمی، برشی و برشی - خمی تعريف شده است. در حالت شکست خمی، مکانیزم شکست ساختمان در اثر شکست خمی اعضا تشکیل شده و ساختمان نسبتاً شکل پذیر است. در حالت شکست برشی، مکانیزم شکست در اثر شکست برشی اعضا تشکیل و ساختمان ترد و بدون شکل پذیری است. در حالت شکست برشی - خمی، ترکهای برشی در اعضا به وجود می‌آید اما مکانیزم شکست از نوع خمی است.

### ۳-۲- تشریح مراحل ارزیابی ايمني

همان طور که بیان شد این روش از پنج گام برای ارزیابی ايمني سازه‌ها استفاده می‌کند که جزئیات آن به طور خلاصه در نمودار جریانی شکل (۱) نشان داده شده و به شرح زیر است

### ۱-۳-۱- گام مدلسازی سازه‌ای

ارزیابی با انتخاب یک مدل سازه‌ای شروع می‌شود که بیانگر سیستمهای انتقال بار ثقلی و لرزه‌ای است. سیستم سازه‌ای و شدت بار ثقلی با بررسی نقشه‌ها، محاسبات طراحی، مشخصات رکوردها و بازرسی محلی تعیین می‌شوند. با توجه به اینکه مدلسازی سازه‌ای مناسب یک گام اساسی در ارزیابی ايمني سازه‌ای محسوب می‌شود، لذا این گام باید با نهایت دقت انجام گیرد. اگر انتخاب یک مدل ساده مشکل باشد، باید چندین مدل

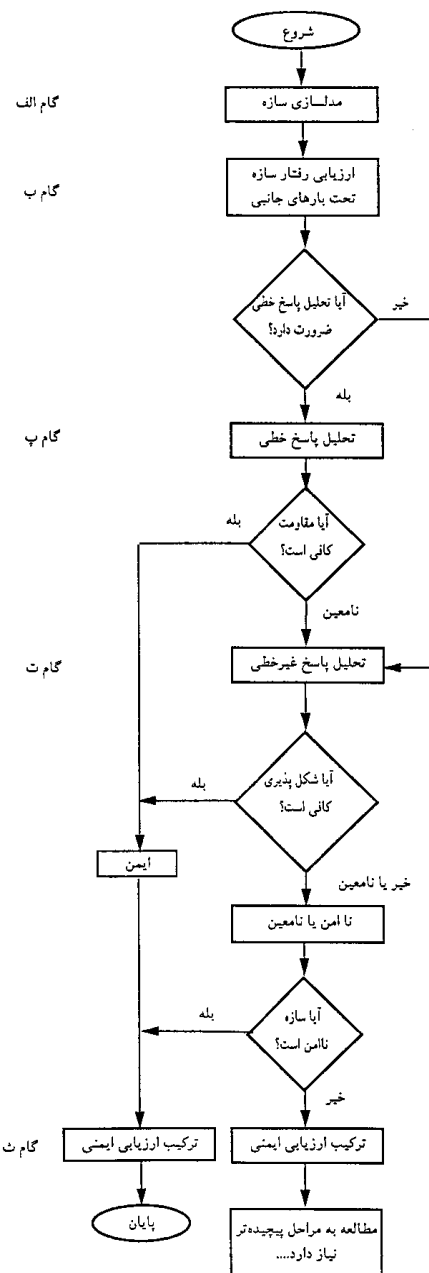
جدول ۱- ماتریس معیار برای قضاوت اینمنی لرزه‌ای ساختمانهای بتی مسلح

زلزله شدید (0.45 g)	زلزله قوی (0.3 g)	درجه زلزله
خسارت بدون فروریزش	خسارت قبل تعمیر	درجة اینمنی
ضریب شکل پذیری ( $\mu$ ) <sup>۱</sup> کوچکتر از ۲ قبل از مرحله شکست برشی <sup>۲</sup> مرحله ترک خورده برشی <sup>۳</sup>	ضریب شکل پذیری ( $\mu$ ) <sup>۱</sup> کوچکتر از ۲ مرحله ترک خورده برشی مرحله ترک خورده برشی	mekanizm شکست خمی (شکل پذیر) mekanizm شکست برشی (شکننده) mekanizm شکست برشی - خمی

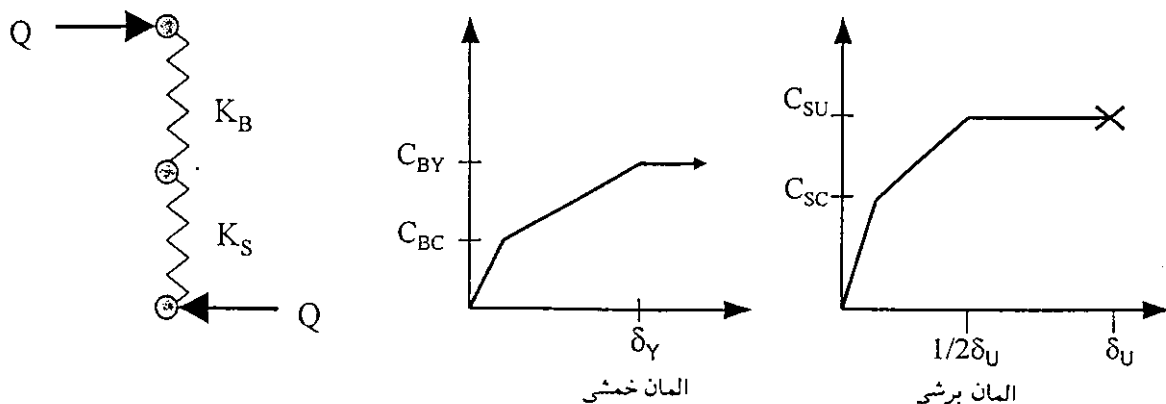
۱- جایه جایی جاری شدن / جایه جایی حداقل - ضریب شکل پذیری

۲- تغییر شکل برشی در این مرحله نصف ظرفیت تغییر شکل نهایی در نظر گرفته می‌شود ( $\gamma_{ult}=4\times10^{-3}$  rad)

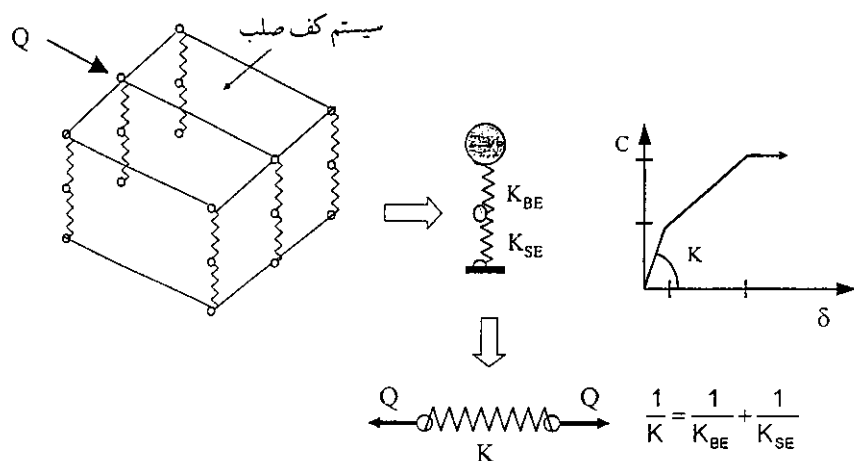
۳- جایه جایی در این مرحله، تقریباً متناظر با ضریب شکل پذیری ۲ برای نوع خمی در نظر گرفته می‌شود



شکل ۱- نمودار جریانی عملیات و مراحل ارزیابی [۹]



شکل ۲- مشخصات عضو لرزهبر



شکل ۳- مدل تحلیل سازه

طبقه زام،  $A_i$  مساحت سطح مقطع زامین عضو لرزهبر،  $m$  تعداد کل اعضای لرزهبر طبقه  $i$  ام و  $n$  تعداد طبقات هستند. با توجه به اینکه  $\tau_{av}$  بر حسب توزیع سختی و مقاومت ستونها و دیوارها متغیر است، لذا با استناد توزیع برش و مقاومت برشی هر یک از ستونها و دیوارها برای برآورد دقیق  $\tau_{av}$  محاسبه شوند. در یک سیستم ساختمانی مطابق شکل (۴) شامل  $m$  عضو لرزهبر موازی، اگر  $i$  امین عضو به مقاومت ترک خوردنگی برشی،  $\tau_c$  برسد آن گاه نیروی برشی این عضو عبارت است از

$$Q_i = \tau_c \times A_i \quad (4)$$

اگر فرض کنیم  $i$  امین عضو ماتریس سازگاری بین جابه جایی اعضا و جابه جایی نقطه بارگذاری باشد، داریم

معادلات تقریبی به شرح زیر پذیرفته شده‌اند.

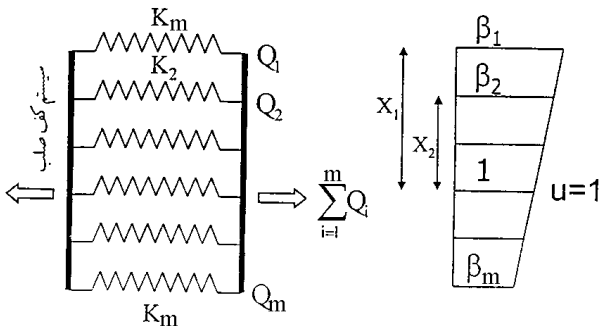
#### ۱-۲-۳-۲- مقاومت ترک خوردنگی برشی ( $C_{sci}$ )

اگر متوسط تنش برشی  $\tau_{av}$  ستونها و دیوارها در هنگام شروع ترک برشی معلوم باشد، مقاومت برشی طبقه در مرحله ترک خوردنگی عبارت است از

$$Q_{sci} = \tau_{av} \sum_{j=1}^m A_j \quad (2)$$

$$C_{sci} = Q_{sci} / \sum_{j=i}^n W_j \quad (3)$$

در معادلات بالا  $Q_{sci}$  نیروی برشی طبقه  $i$  ام در مرحله ترک خوردنگی،  $C_{sci}$  ضریب برش ترک خوردنگی طبقه  $i$  ام،  $W_j$  وزن



شکل ۴- سیستم سازه‌ای و سازگاری تغییر شکلها

۳-۲-۳-۲- مقاومت خمشی ( $C_{byi}$ )

مقاومت خمشی به کمک یک تحلیل حالت حدی تقریبی و با فرض تشکیل مفصل خمیری در محل اتصال تیرها، ستونها و پی‌ها محاسبه می‌شود. برای این منظور برنامه رایانه‌ای HMECH برای قابها و SWALL برای دیوارها تهیه شد که نمودار جریانی آنها در شکل‌های (۵) و (۶) آورده شده است [۸ و ۹]. در این برنامه‌ها لنگرهای جاری شدن از معادلات زیر محاسبه می‌شوند

تیرها

$$M_y = 0.9A_t f_y d \quad (9)$$

ستونها

$$M_y = 0.8A_t f_y D + 0.5ND \left( \frac{1-N}{bDf'_c} \right) \quad (10)$$

دیوارها با ستون لبه

$$M_y = A_g f_y L + \frac{N}{2L} \quad (11)$$

دیوارهای بدون ستون لبه (مشابه معادله (۱۰) یا به روش

(سازگاری کرنشها)

پی‌ها

$$M_y = \left( \frac{f_o}{2} \right) \left( 1 - \frac{f_o}{f_b} \right) BL^2 \quad (12)$$

در معادلات بالا  $M_y$  لنگر جاری شدن،  $A_t$  مساحت آرماتور کششی،  $f_y$  مقاومت جاری شدن آرماتور کششی،  $d$  عمق مؤثر تیر،  $D$  عمق ستون،  $b$  پهنای ستون،  $N$  نیروی محوری (فشاری مثبت)،  $f'_c$  مقاومت مشخصه بتن،  $A_g$  مساحت آرماتور طولی

$$Q_i = \left[ \left( \beta_i K_i \right) / \sum_{j=1}^m (\beta_j X_j) \right] \sum_{j=1}^m Q_j \quad (5)$$

$$\beta_i = 1 - X_i \left[ \left( \sum_{j=1}^m K_j X_j \right) / \left( \sum_{j=1}^m K_j X_j^2 \right) \right] \quad (6)$$

$$\tau_{av} = \left[ \sum_{j=1}^m Q_j / \sum_{j=1}^m A_j \right] = \left[ \frac{A_i}{\sum_{j=1}^m A_j} / \frac{\beta_i K_i}{\sum_{j=1}^m \beta_j K_j} \right] \tau_c = \alpha_s \tau_c \quad (7)$$

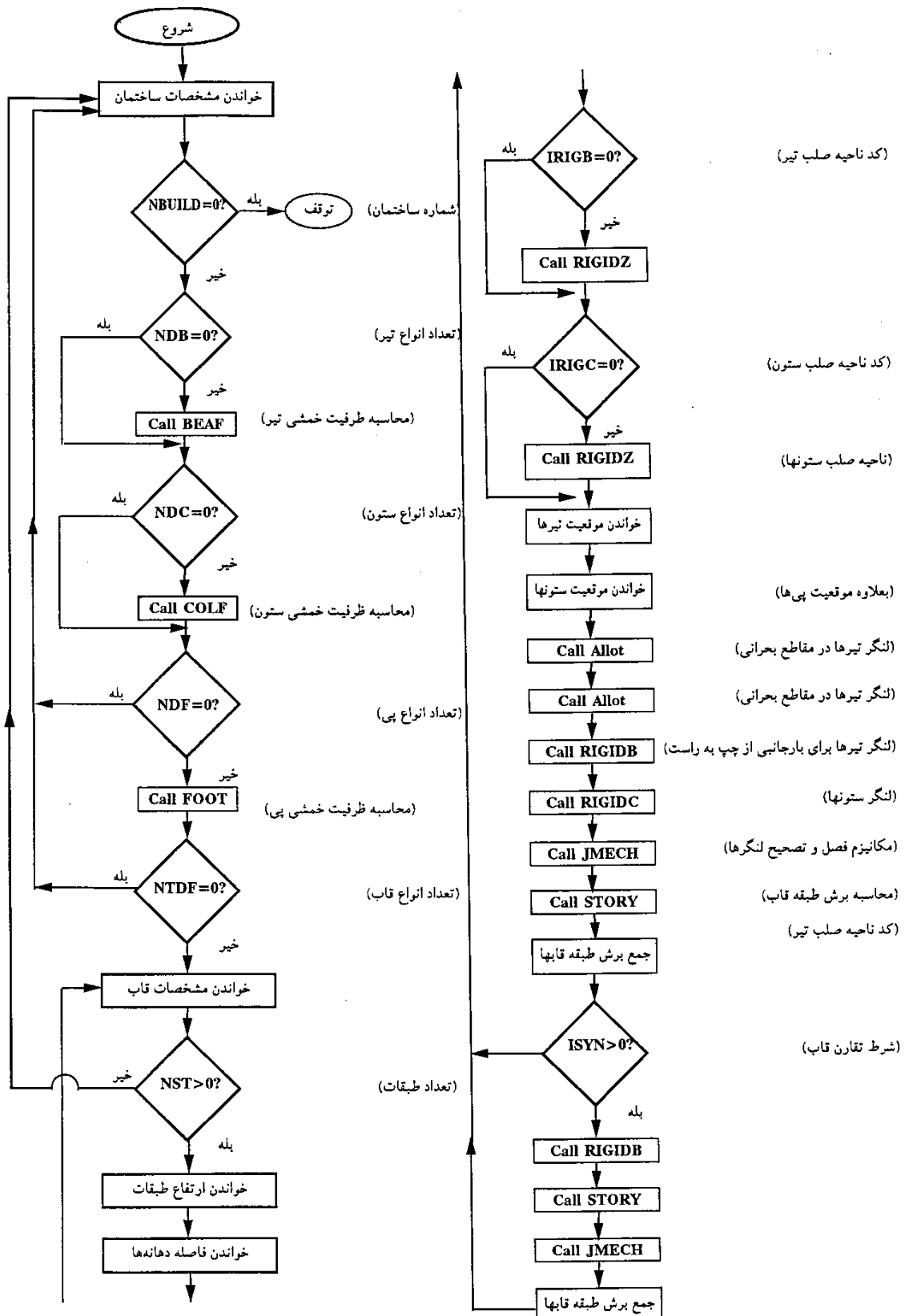
معادله (۵) از تناسب خطی نیرو در اعضای لرزه‌بر و معادله (۶) از سازگاری تغییر شکلها به علاوه تعادل نیروها به دست آمده‌اند. در این معادله،  $x_i$  بیانگر فاصله  $i$  امین عضو از نقطه بارگذاری بوده و پارامتر  $\alpha_s$  ضریب اصلاح تنش برشی ترک خوردگی است. با انتخاب این ضریب، مقاومت ترک خوردگی برشی ساختمان به طور تقریبی محاسبه می‌شود و نیازی به تحلیل تنش نیست. در صورتی که تمام اعضا سطح مقطع و سختی یکسان داشته باشند  $\alpha_s = 1$  خواهد بود. به هر حال در ساختمانهای موجود به علت متفاوت بودن سطح مقطع و سختی اعضا و تمرکز تنش در بعضی از اعضا عموماً  $\alpha_s < 1$  است.

۲-۲-۳-۲- مقاومت نهایی برشی ( $C_{sui}$ )

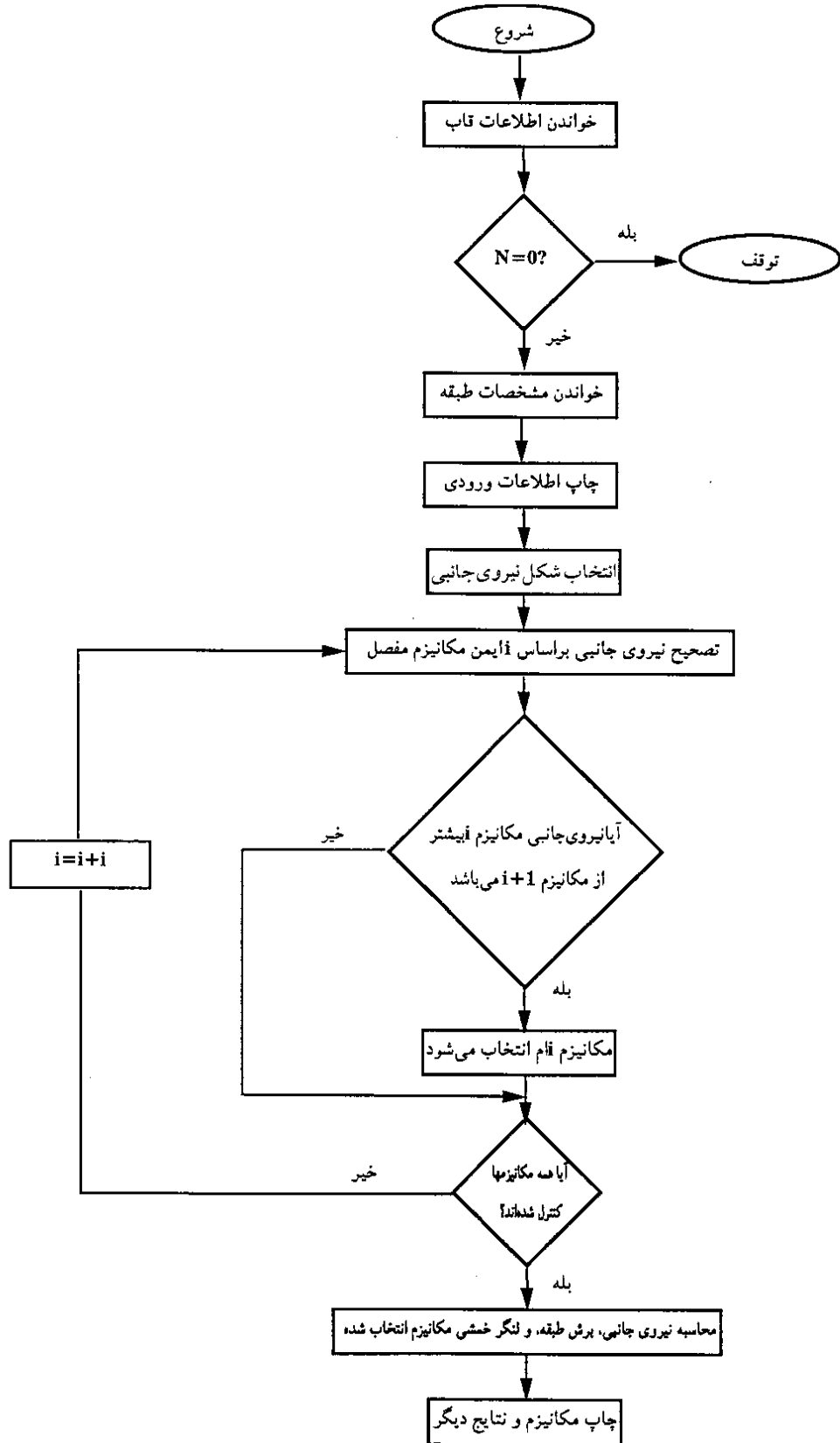
مقاومت نهایی برشی از معادله زیر محاسبه می‌شود

$$C_{sul} = \alpha \times C_{scl} \quad (8)$$

مقدار ضریب  $\alpha$  بستگی تام به مطالعات آزمایشگاهی پیدا می‌کند لیکن با توجه به مطالعات سعی و خطأ [۹ و ۱۰]، مقدار  $\alpha = 1.9$  در نظر گرفته می‌شود. مقدار واقعی  $\alpha$  از نتایج آزمایشی دیوارهای برشی همراه قاب حاصل می‌شود که متناسفانه در حال حاضر چنین مطالعاتی مقدور نیست. در ضمن، پیشنهاد می‌شود این پارامتر برای دیوارهای بدون قاب یا برای ستونها با در نظر گرفتن دهانه برش و میزان آرماتور برشی نیز اصلاح شود.



[۸] نمودار جریانی برنامه HMECH



[۶] شکل ۶ - نمودار جریانی برنامه SWALL

شکست در طبقه اول ساختمان، معیار اصلی اینمی در مرحله اول محسوب می‌شود. بنابراین اگر شکست در طبقه دیگری غیر از طبقه اول شروع شود، ارزیابی نیاز به اصلاح دارد. اگر نیروی جانبی در طبقات ساختمان اعمال شود ضریب برش طبقه  $i$  از عبارت است از

$$C_i = Q_i / \sum_{j=i}^n W_j = \sum_{j=i}^n k_j W_j / \sum_{j=i}^n W_j \quad (15)$$

در معادله بالا  $k_j$  ضریب نیروی جانبی طبقه  $j$ ،  $W_j$  وزن طبقه  $j$  و  $n$  تعداد کل طبقات‌اند. اگر توزیع  $k_j$  معلوم باشد می‌توان اولین طبقه‌ای را که به مرحله جاری شدن یا مرحله ترک خورده‌گی می‌رسد تعیین کرد. چنانچه طبقه‌ای قبل از طبقه اول به حد بحرانی بررسد ضریب برش پایه بر حسب آن اصلاح می‌شود. مثلاً اگر مطابق شکل (۹) توزیع  $k_j$  مثبتی (نژدیک به مدل اصلی) و وزن طبقات مساوی در نظر گرفته شوند ضریب برش پایه برابر است با

$$C_i = \frac{k_n(n+i)}{2n} \quad (16)$$

$$\bar{C}_i = \frac{C_i}{C_1} = \frac{n+i}{n+1} \quad (17)$$

در معادلات بالا  $\bar{C}_i$  نرمال شده  $C_i$  است. اگر مقدار  $\bar{C}_i$  بزرگتر از مقاومت نرمال شده  $C_{yi}$  ( مقاومت  $i$  این طبقه به مقاومت طبقه اول ) باشد، مقاومت طبقه اول به صورت زیر اصلاح می‌شود

$$C'_{yi} = C_{yi} \bar{C}_{yi} \frac{n+1}{n+i} \quad (18)$$

$$C'_{yi} = C_{yi} \bar{C}_{yi}$$

۵-۲-۳-۲- پریود طبیعی

پریود طبیعی ساختمان به طور تقریبی معادل  $n \times (0.06 \sim 0.1)$  انتخاب می‌شود که در آن  $n$  تعداد طبقات سازه است.

۶-۲-۳-۲- ضریب شرکت مدد

با توجه به اینکه اثر مدهای بالاتر در ساختمانهای بتونی کوتاه ناچیز است بنابراین، فقط ضرایب مشارکت مدد اول در نظر گرفته می‌شود. یک سیستم جرم متمرکز با توزیع یکنواخت جرم

ستون لبه،  $L$  فاصله محور به محور ستونهای لبه دیوار (و یا طولی پی)،  $f_b$  تنش پی ( $f_b = N/BL$ )،  $f_c'$  مقاومت تنش نهایی خاک و  $B$  پهنای پی هستند. اگر  $N > 0.4bDf_c'$  باشد معادله (۱۰) قابل استفاده نیست. معادله (۱۲) نیز با فرض قرار گرفتن پی روی فنرهای الاستوپلاستیک حاصل شده است. در مرحله اول می‌توان از تنش معجاز  $f_b$  استفاده کرد و  $f_b$  را ۲ یا ۳ برابر  $f_c$  فرض کرد.

ضریب برش پایه در یک سیستم قاب خمشی براساس نوع مکانیزم شکست محاسبه می‌شود. برای این منظور یکی از مکانیزم‌های شکست: مفصل تیر، مفصل ستون یا مفصل پی با مقایسه مجموع لنگر خمیری تیرها، ستونها و پی‌ها در محل اتصال مطابق شکل (۷) تعیین می‌شود. سپس نیروی برشی طبقه از معادله زیر به دست می‌آید

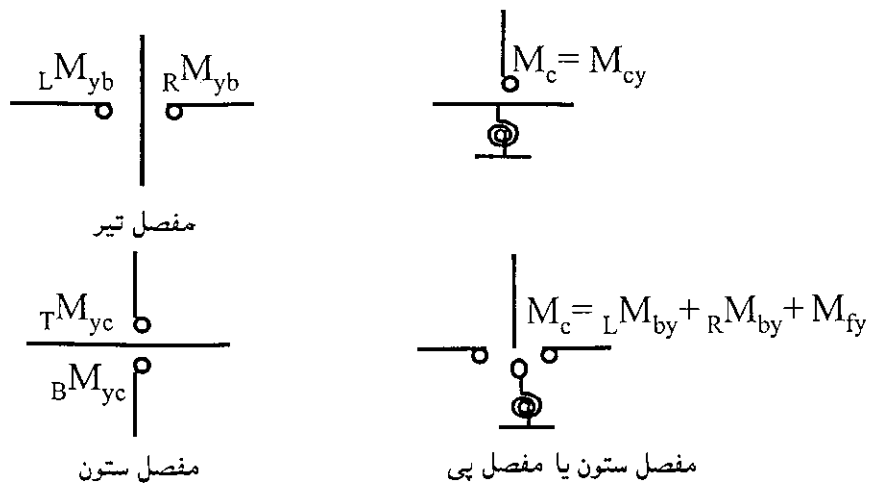
$$Q_i = \sum_{j=1}^m \left( T M_{cj} + B M_{cj} / h_i \right) \quad (13)$$

$$C_i = Q_i / \sum_{j=1}^n w_j \quad (14)$$

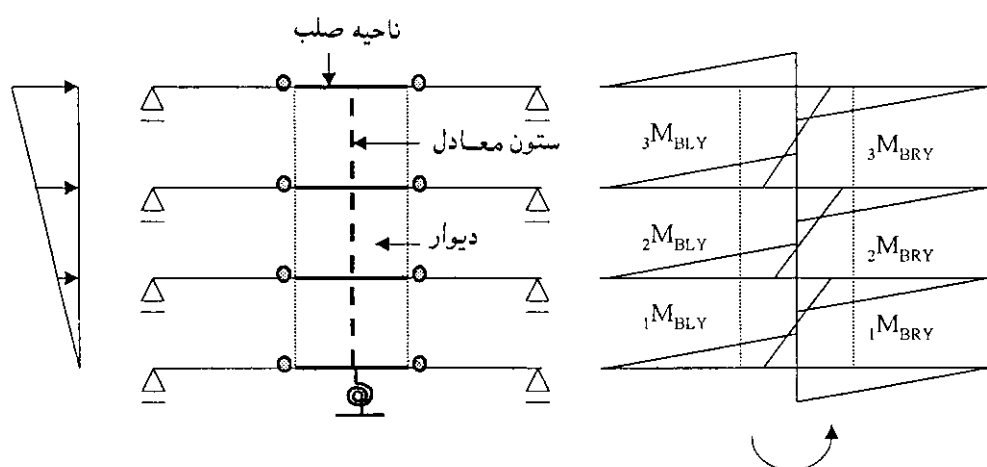
در معادلات بالا  $Q_i$  برش طبقه  $i$ ،  $T M_{cj}$  لنگر در بالای ستون،  $B M_{cj}$  لنگر در پایین ستون،  $h_i$  ارتفاع طبقه  $i$ ،  $m$  تعداد ستونها و دیوارها،  $C_i$  ضریب برش طبقه  $i$  و  $n$  تعداد کل طبقات‌اند.

برای محاسبه ضریب برش پایه، یک سیستم قاب - دیوار مطابق شکل (۸) از یک سیستم قاب خمشی معادل همراه با ناحیه صلب استفاده می‌شود. در این سیستم، نقطه عطف تیرهای مرزی در حد فاصل ستون مجاور و وسط دهانه فرض می‌شود. سپس با فرض تشکیل مفصل خمیری در انتهای این تیرهای مرزی و با انتخاب توزیع نیروی جانبی به صورت یکنواخت یا مثبتی در ارتفاع طبقات، ضریب برش پایه برای تمام حالات مختلف مفصلهای خمیری با استفاده از معادلات تعادل به دست می‌آید. کمترین مقدار به عنوان ضریب برش پایه انتخاب می‌شود.

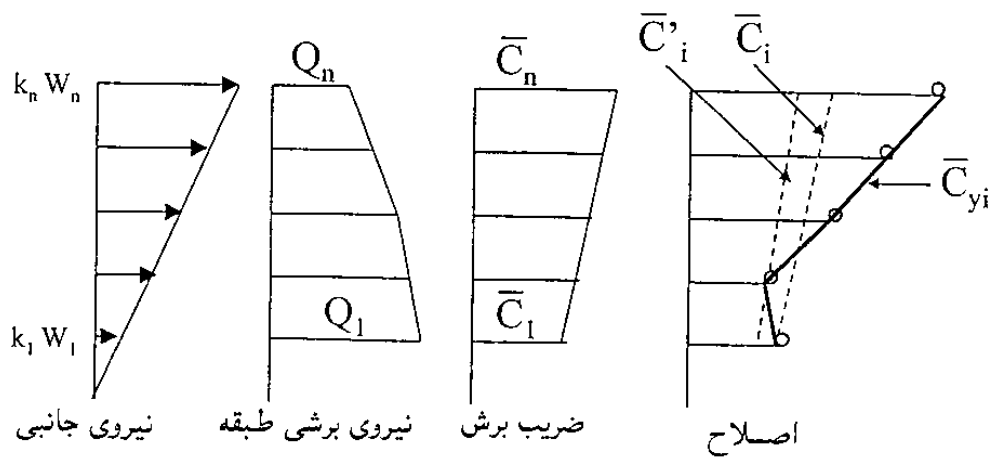
۶-۲-۴- اصلاح ضریب برش پایه  
مقاومت جانبی بر حسب ضریب برش پایه با فرض کتربل



شکل ۷- مکانیزم مفصل پلاستیک در نقاط گرهی



شکل ۸- قاب معادل برای دیوار برشی



شکل ۹- اصلاح مقاومت طبقه

ساختمان با اعمال ضرایب شرکت مدلی به دست آمده و با ضابطه تعیین شده برای شکل پذیری ایمن مورد ارزیابی قرار می‌گیرد. اگر نتیجه به دست آمده نامعین باشد، ارزیابی دقیقتر در مراحل بعدی ضروری خواهد بود [۸ و ۹].

#### ۴-۳-۱- طیف پاسخ غیرخطی

- طیف پاسخ غیرخطی براساس نوع مدل هیسترزیس تهیه می‌شود که خود بستگی به نوع شکست دارد. با توجه به نتایج تجربی، سه نوع مدل هیسترزیس مطابق شکل (۱۲) پیشنهاد شده است که از یک منحنی پوش سه خطی پیروی می‌کنند. این مدلها عبارت‌اند از
- حلقه هیسترزیس مبدأگذر<sup>۱</sup> برای شکست نوع برشی.
  - حلقه هیسترزیس سه خطی کاهنده<sup>۲</sup> برای شکست نوع خمشی.
  - حلقه هیسترزیس سه خطی کاهنده اصلاح شده<sup>۳</sup> برای شکست نوع برشی خمشی.

#### ۴-۳-۲- سیستم تک جرمی معادل

یک ساختمان سه طبقه برشی برای نمایش نحوه تعیین سیستم تک جرمی معادل در شکل (۱۳) نشان داده شده است. دو فرض اصلی برای تعیین یک سیستم تک جرمی معادل عبارت‌اند از: الف - فقط مدل اول ارتعاشی در پاسخ سازه حاکم است، ب - یا همه طبقات به طور همزمان به مرحله بحرانی می‌رسند یا ابتدا طبقه اول. بنابراین

$$K_c = C_{sc1} \left[ \sum_{i=1}^n W_i \left/ \left( \sum_{i=1}^n (\beta u)_i W_i \right) \right. \right] \quad (20)$$

در معادله بالا  $K_c$  مقاومت ترک خوردنگی بر حسب ضریب برش سیستم تک جرمی معادل،  $C_{sc1}$  مقاومت ترک خوردنگی بر حسب ضریب برش طبقه اول ساختمان،  $(\beta u)_i$  ضریب مشارکت مدلی طبقه  $i$ ام و  $W_i$  وزن طبقه  $i$ ام هستند. پاسخ جایه‌جایی سیستم تک جرمی معادل حاصل از طیف پاسخ غیرخطی به کمک معادلات زیر به پاسخ جایه‌جایی طبقه اول ساختمان تبدیل می‌شود.

و سختی در طبقات، یا یک سیستم با شکل مدل خطی، برای محاسبه تقریبی ضرایب مشارکت مدل اصلی در نظر گرفته می‌شود [۹].

#### ۳-۳-۲- گام ارزیابی ایمنی مقاومت

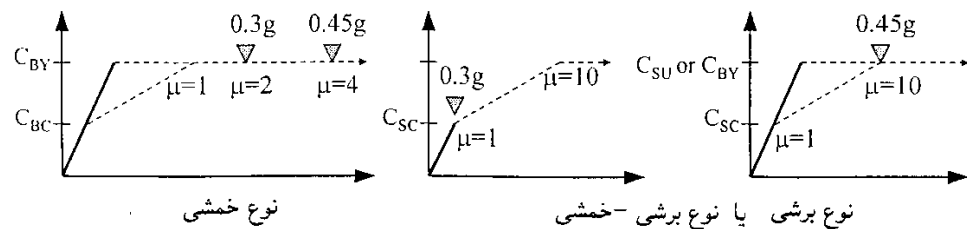
به منظور ارزیابی سریع ایمنی، ضریب برش پایه مقاوم با ضریب برش پایه حاصل از پاسخ غیرخطی مقایسه می‌شود. اگر ضریب برش پایه حاصل از پاسخ خطی در محدوده خط ضخیم مطابق شکل (۱۰) قرار گیرد، ساختمان ضوابط طراحی را تأمین کرده و به صورت ایمن ارزیابی می‌شود. برای محاسبه ضریب برش پایه خطی یک ساختمان چند طبقه با جرم‌های متتمرکز ( $C_E$ )، یک سیستم تک جرمی معادل مداول ارتعاشی (سیستم تکدرجه) در نظر گرفته می‌شود لذا

$$C_E = \left[ \left( \sum_{i=1}^n (\beta u)_i W_i \right) \right/ \sum_{i=1}^n W_i \right] (S_a/g) \quad (19)$$

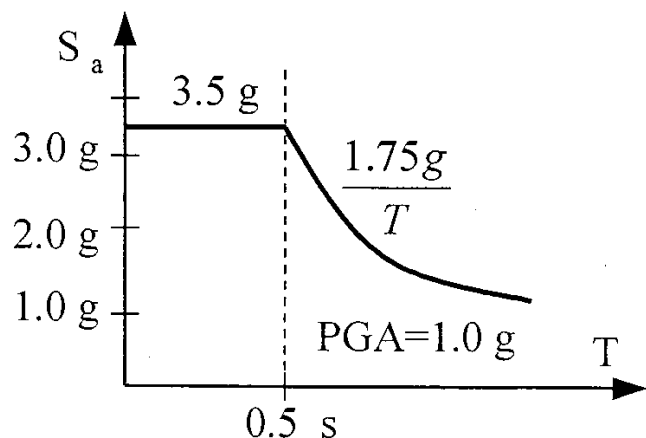
در معادله بالا  $C_E$  ضریب برش پایه،  $(\beta u)_i$  ضریب مشارکت مدل اصلی طبقه  $i$ ام،  $W_i$  وزن طبقه  $i$ ام،  $n$  تعداد کل طبقات و  $S_a$  شتاب طیف پاسخ خطی اند. در محاسبه  $S_a$  بهتر است از طیف پاسخی استفاده شود که شرایط پی، لزه خیزی محل و دیگر شرایط محل ساختمان در نظر گرفته شده باشد [۱۵]. به هر حال برای سهولت ارزیابی از طیف پیشنهادی یومه‌مورا [۹] مطابق شکل (۱۱) به دلیل در دست نبودن طیف مناسب دیگری به ناچار می‌توان استفاده کرد. در این شکل  $T$  پریود طبیعی سیستم تک جرمی بر حسب ثانیه و  $g$  حداقل شتاب حرکت زمین نرمال شده به شتاب ثقل است.

#### ۴-۳-۲- گام ارزیابی شکل پذیری ایمن

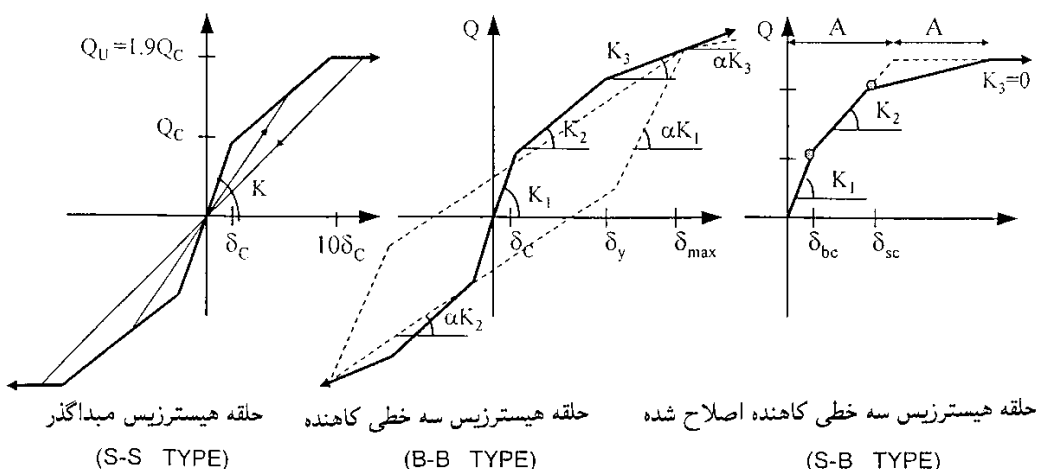
در این گام جایه جایی طبقه اول با استفاده از طیف پاسخ غیرخطی و ضرایب مشارکت مدلی اصلاح شده (برای در نظر گرفتن رفتار غیرخطی ساختمان) به دست می‌آید. برای انجام این کار ابتدا بایستی طیف پاسخ غیرخطی و سیستم تک جرمی معادل محاسبه شوند. سپس، ضریب شکل پذیری طبقه اول



شکل ۱۰- ارزیابی مقاومت این من توسط طیف پاسخ خطی



شکل ۱۱- طیف پاسخ خطی یومه مورا



شکل ۱۲- سه نوع مدل هیسترزیس مختلف

مرحله ترک خوردگی،  $B\delta_{max}$  حداکثر جابه جایی طبقه اول

$$B\delta_c = (\beta u)_1 \delta_c \quad (21)$$

$\delta_{max}$  حداکثر جابه جایی سیستم تک جرمی معادل،  $B\mu_1$

$$B\delta_{max} = (m.f)(\beta u)_1 \delta_{max} \quad (22)$$

ضریب شکل پذیری طبقه اول،  $\mu$  ضریب شکل پذیری

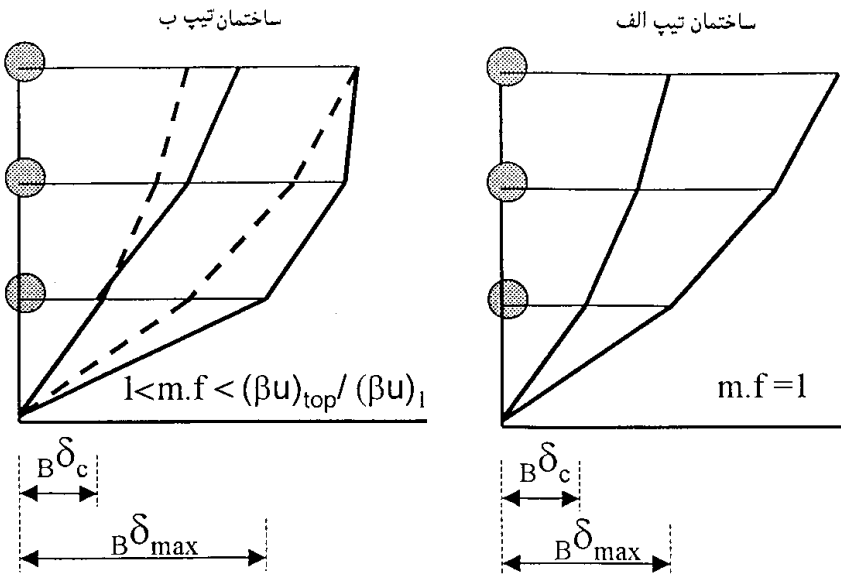
$$B\mu_1 = (m.f)\mu. \quad (23)$$

سیستم تک جرمی معادل و (m.f) ضریب اصلاح اند. برای

در معادلات بالا  $B\delta_c$  جابه جایی طبقه اول در مرحله ترک

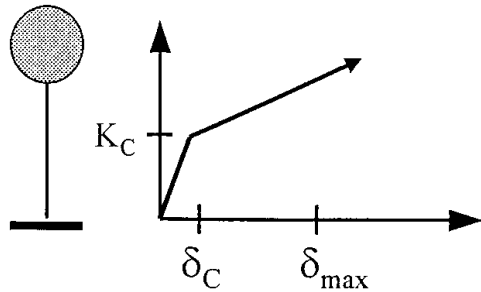
محاسبه (m.f)، شبیه ضریب مشارکت مدی مورد استفاده قرار

خوردگی برشی،  $\delta_c$  جابه جایی سیستم تک جرمی معادل در



ضریب مشارکت مدى طبقه  $i$  ام =  $(\beta_i u)_j$

ضریب اصلاح شکل مدد در ناحیه غیرخطی = (m.f)



شكل ۱۳- سیستم تک جرمی معادل و ضریب اصلاح شکل مد

در ساختمنهای با شکست نوع خمینی، ضرایب مشارکت مدنی مرحله جاری شدن جایگزین مرحله ترک خوردگی برشی خواهد شد.

**۲-۳-۵- گام ترکیب ارزیابی اینمنی**  
با انجام مراحل زیر به یک جمعبندی و نتیجه‌گیری نهایی  
برای ارزیابی، اینمنی، می، توان دست یافت.

- ابتدا بایستی نمودار مقاومت ترک خوردگی برسی -

می‌گیرد که بستگی به شکل مدد در ناحیه غیرخطی دارد. با توجه به شکل (۱۳) اگر تمام طبقات ساختمان همزمان به مرحله ترک خورده‌گی برستند (نوع الف)، می‌توان  $m.f = 1$  در نظر گرفت. ولی اگر طبقه اول ساختمان قبل از بقیه طبقات به مرحله ترک خورده‌گی برسد (نوع ب)،  $m.f > 1$  خواهد بود. چنانچه حداقل جایه جایی نوک ساختمان نوع (الف) و (ب) مساوی باشند داریم

$$l < (m.f) < \frac{(\beta u)_{top}}{(\beta u)_l} \quad (\text{Eq})$$

$$C_{cr} = \left[ \left( \sum_{i=1}^n (\beta u)_i W_i \right) / \sum_{i=1}^n W_i \right] \alpha_0 k_g \quad (26)$$

در معادلات بالا  $\alpha_0$  ضریب عددی حاصل از طیف غیرخطی و  $C_{cr}$  حداقل مقاومت جاری شدن طبقه اول ساختمان است. ملاحظات مشابه برای ساختمانهای نوع برشی - خمثی و برشی در نظر گرفته می‌شود. در هر حال چون مقاومت بحرانی ساختمان نوع برشی - خمثی در زلزله  $g = 0.45$  باستگی به نسبت مقاومت خمثی به مقاومت ترک خوردگی برشی دارد، مقاومت برشی بحرانی برای این نوع ساختمان قابل تعریف نیست. بنابراین با توجه به شکل (۱۵) مرز به صورت یک منحنی است که از نقطه ۱ شروع و به نقطه ۲ ختم می‌شود. اما برای سهولت محاسبه و در راستای اطمینان در شکل (۱۵) به جای منحنی ۱-۲ خط ۳-۲-۱ در نظر گرفته شده است. در این شکل  $\bar{C}_{cr}$  بیانگر مقاومت برشی بحرانی برای زلزله  $g = 0.45$  (مدل مبدأگذر) است که در آن تغییر مکان مجاز ساختمان نوع برشی ۱۰ برابر تغییر مکان ترک خوردگی برشی در نظر گرفته می‌شود.

#### ۴-۵-۳-۲- نحوه ارزیابی و گروه بندی اینمنی

نحوه ارزیابی اینمنی برای زلزله‌های  $g = 0.3$  و  $g = 0.45$  توسط ۹ منطقه مطابق شکل (۱۶) مشخص می‌شود. با رسم نتایج مرحله اول در این شکل، نحوه ارزیابی و گروه بندی اینمنی مطابق جدول (۲) انجام می‌گیرد. ساختمانهای واقع در مناطق A، B، C و D در ارزیابی اینمنی مقاومت، اینمن شناخته می‌شوند و به عنوان گروه I طبقه بندی می‌شوند. ساختمانهای واقع در منطقه E در ارزیابی اینمنی شکل پذیری، اینمن شناخته می‌شوند و به عنوان گروه II طبقه بندی می‌شوند.

با توجه به اینکه ساختمانهای مناطق F و G ضوابط مربوط به زلزله  $g = 0.3$  و  $g = 0.45$  را تامین می‌کنند و نه هر دو را، بنابراین آنها به عنوان گروه III طبقه بندی می‌شوند. در این گروه از ساختمانها مرحله بعدی و یک ارزیابی دقیقتر ضروری است، زیرا آنها در مرز بین امن و نامن قرار دارند. ساختمانهای واقع در مناطق H و I و به عنوان گروه IV طبقه بندی شده و در

مقاومت خمثی را مطابق شکل (۱۴) ترسیم کرده و توسط دو خط آن را به سه ناحیه تقسیم کنیم. خط ممتد بیانگر مرز بین شکست نوع خمثی و برشی - خمثی و خط شکسته بیانگر مرز بین شکست نوع برشی - خمثی و برشی است. مقاومت خمثی و مقاومت ترک خوردگی برشی طبقه اول ساختمان (حاصل از گام ب) در این نمودار رسم می‌شود.

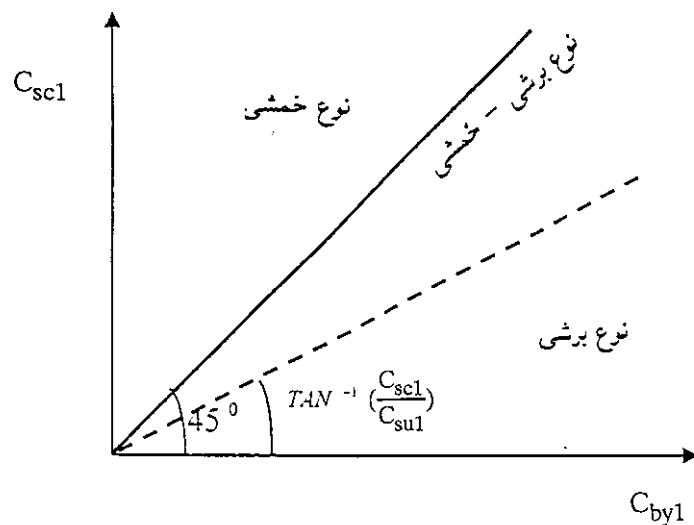
#### ۲-۵-۳-۲- پهنگندی با ارزیابی مقاومت اینمن

ناحیه اینمن برای زلزله‌های  $g = 0.3$  و  $g = 0.45$  با استفاده از نتایج ارزیابی مقاومت اینمن (بخش ۳-۳-۲) در شکل (۱۵) نشان داده شده است. در این شکل  $C_E$  ضریب برش پاسخ خطی طبقه اول است. ناحیه هاشور خوردگی نشان می‌دهد که اینمنی ساختمان در این ناحیه نامعلوم است.

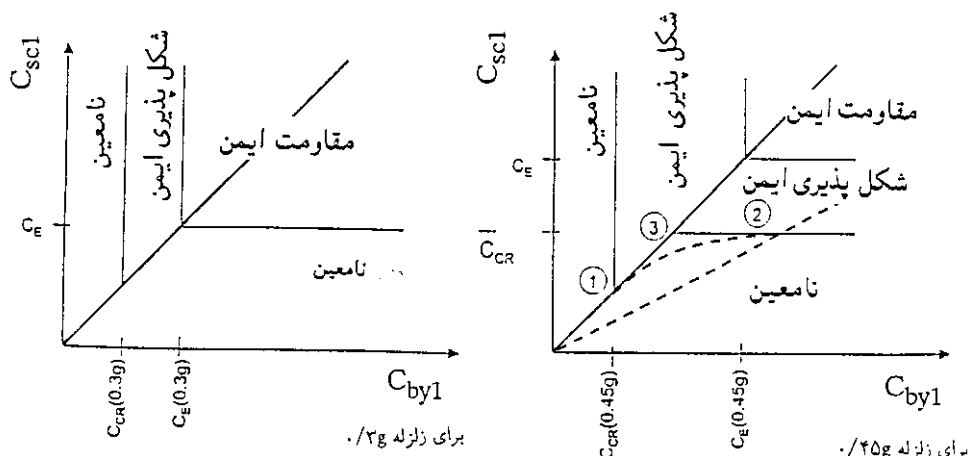
#### ۳-۵-۳-۲- پهنگندی با ارزیابی شکل پذیری اینمن

ناحیه اینمن با استفاده از نتایج ارزیابی شکل پذیری اینمن (بخش ۳-۲-۴) مطابق شکل (۱۵) افزایش می‌یابد. در این شکل به دلیل اینکه مختصات مقاومت استفاده شده است، لذا یک تبدیل مناسب از جایه جایی به مقاومت لازم است. حداقل مقاومت لازم برای حداکثر جایه جایی پاسخ ساختمان در ضریب شکل پذیری معین از طیف پاسخ غیرخطی قابل محاسبه است. این حداقل مقاومت که مقاومت بحرانی نامیده می‌شود عموماً به مشخصات بار - تغییر شکل غیرخطی، میرایی و مشخصات حرکات لرزه‌ای زمین و غیره بستگی دارد. مقاومت بحرانی با داشتن پریود طبیعی، شکل مد ساختمان و ضریب اصلاح شکل مد (m.f) برای حالت غیرخطی تعیین می‌شود. به عنوان مثال در یک ساختمان با شکست خمثی تحت زلزله  $g = 0.3$  حداکثر ضریب شکل پذیری مجاز عبارت است از  $m.f = 2/(m.f)$ . حال به کمک طیف پاسخ غیرخطی، حداقل مقاومت جاری شدن سیستم تک جرمی ( $K_{cr}$ ) برای جلوگیری از جایه جایی بیشتر از شکل پذیری مجاز قابل محاسبه است

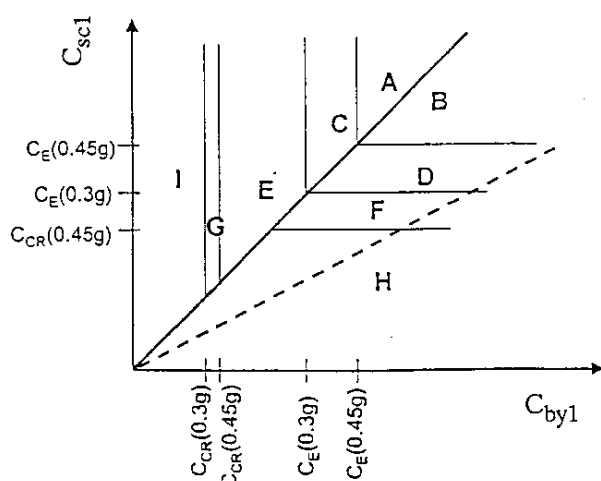
$$K_{cr} = \alpha_0 K_g \quad (25)$$



شکل ۱۴- نحوه تعیین نوع شکست



شکل ۱۵- ارزیابی مقاومت و شکل پذیری این



شکل ۱۶- منطقه بندی نمودار مقاومت پرشی - خمشی

جدول ۲- نحوه ارزیابی و گروه‌بندی ایمنی

گروه	(PGA=0.45g)		زلزله قوی (PGA=0.3g)		نوع شکست	منطقه
	شکل پذیری	مقاومت	شکل پذیری	مقاومت		
I	ایمن	ایمن	ایمن	ایمن	خمشی	A
	ایمن	ایمن	ایمن	ایمن	برشی یا برشی - خمشی	B
	ایمن	نامعین	ایمن	ایمن	الخمشی	C
	ایمن	نامعین	ایمن	ایمن	برشی یا برشی - خمشی	D
II	ایمن	-	ایمن	نامعین	الخمشی	E
III	ایمن	-	نامعین	نامعین	برشی یا برشی - خمشی	F
	نامعین	-	ایمن	-	الخمشی	G
IV	نامعین	-	-	-	برشی یا برشی - خمشی	H
	نامعین	-	-	-	الخمشی	I

آیین نامه ACI ویرایش ۱۹۸۳ [۱۴] انجام گرفته است. خلاصه‌ای از بارگذاری و ضریب برش طبقات در جدول (۳) نشان داده شده است. پریود اصلی سازه در جهت شمال – جنوب و شرق – غرب به ترتیب برابر  $0/25$  و  $0/32$  ثانیه است.

مرحله اول به صورت ساختمانهای نامن طبقه بندی می‌شوند.

### ۳- مثال عددی

برای نشان دادن قابلیت روش مذکور، یک ساختمان ۴ طبقه بتنی مسلح موجود طی گامهای متوالی زیر بررسی می‌شود.

#### ۲-۳- گام مدل تحلیلی

برای تعیین مقاومت ترک خوردگی برشی به لحاظ اینکه اعضای لرزه‌بر (ستونها) دارای سطح مقطع و سختی مشابهی بوده و تمرکز تنش در عضو خاصی ایجاد نمی‌شود،  $\alpha_s = 1.0$  فرض می‌شود. تجربه زلزله‌های گذشته نشان داده‌اند که مقاومت ترک خوردگی برشی ساختمانهای موجود در حدود  $\sqrt{f'_c}$  بحسب  $\text{kg/cm}^2$  است. بنابراین

$$\tau_{av} = \alpha_s \tau_c = \sqrt{f'_c} = \sqrt{120} = 14.5 \text{ kg/cm}^2 \quad (27)$$

برای محاسبه مقاومت خمشی طبقات از برنامه HMECH استفاده شده است. این برنامه با توجه به مشخصات مقاطع تیرها و ستونها ظرفیت مقاومت خمشی اعضا را محاسبه و با مقایسه آنها، تشکیل مفصل پلاستیک در تیرها یا ستونها را تعیین و سپس ظرفیت مقاومت جانبی طبقات را محاسبه می‌کند [۸]. نتایج محاسبات ترک خوردگی برشی و مقاومت خمشی به

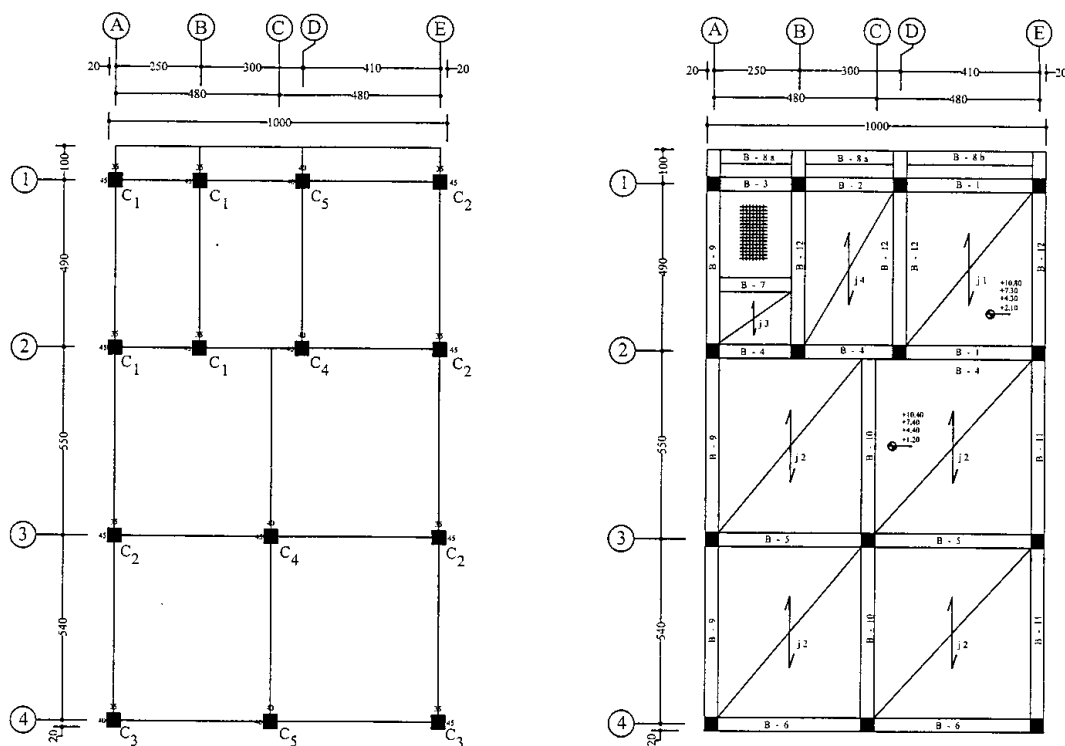
#### ۱-۳- گام مدلسازی سازه‌ای

ساختمان مورد مطالعه، یک قاب فضایی خمشی بتن آرمه است. مشخصات سازه‌ای این ساختمان در شکل (۱۷) نشان داده شده است. سیستم سقفها از نوع تیرچه بلوك بوده و شدت بارهای مرده و زنده به ترتیب برابر  $600$  و  $200$  کیلوگرم بر متر مربع است. ظرفیت تنش مجاز خاک زیرپی‌ها  $2$  کیلوگرم بر سانتیمتر مربع و ضریب اطمینان طراحی پی‌ها برابر  $2$  است. مقاومت جاری شدن آرماتور مصرفی ستونها و تیرها برابر  $f_y = 2.4t/\text{cm}^2$  مقاومت مشخصه بتن برابر  $f'_c = 0.21t/\text{cm}^2$  در نظر گرفته شده است.

قابهای خمشی تنها سیستم باربر قائم و لرزه‌بر جانبی محسوب می‌شوند. بارگذاری لرزه‌ای براساس آیین نامه زلزله ایران (استاندارد ۲۸۰۰، ویرایش اول) [۱۳] و طراحی براساس

جدول ۳- بارگذاری و ضریب برش طبقات (بر حسب تن - سانتی متر)

C <sub>i</sub>	F <sub>i</sub>	H <sub>i</sub>	W <sub>i</sub>	طبقه (i)
۰/۲۳	۲۵/۰۲	۳۰۰	۱۰۹	۴
۰/۲	۱۸/۷۰	۳۰۰	۱۰۹	۳
۰/۱۷	۱۱/۹۷	۳۲۰	۱۰۹	۲
۰/۱۴	۴/۷۵	۲۱۰	۱۰۹	۱



پلان ستون گذاری

COLUMN	نمره زمین	مسکف دارل	نمره زمین	مسکف دارل
C-1	35x45	30x40	30x40	30x40
C-2	35x45	30x40	30x40	-----
C-3	35x40	30x35	30x35	-----
C-4	40x45	35x40	35x40	-----
C-5	40x40	35x35	35x35	-----

پلان تیر ریزی طبقات

BEAM	نمره زمین	مسکف دارل	دروز خوبی
B-1	40x35	35x30	35x30
B-2	40x35	35x30	35x30
B-3	40x35	40x30	40x30
B-4	45x35	40x30	40x30
B-5	45x35	40x30	40x30
B-6	40x35	35x30	35x30
B-7	40x35	40x30	40x30
B-8	35x35	35x30	35x30
B-9	35x35	30x30	30x30
B-10	40x35	35x30	35x30
B-11	35x35	30x30	30x30
B-12	35x35	30x30	30x30

شکل ۱۷- مشخصات سازه‌ای ساختمان مورد مطالعه

$T_1$  و  $T_2$  به ترتیب بیانگر پریود سیستم در حد ارجاعی و جاری شدن هستند که از شبی خلط مربوطه تعیین می‌شوند. می‌توان نشان داد که ضریب شکل پذیری سیستم تک جرمی معادل از معادله زیر به دست می‌آید

$$\mu_o = \frac{\delta_{\max}}{\delta_y} = \frac{S_D K_g}{\left( \left( \frac{g}{4\pi^2} \right) T_2^2 K_y \right)} \quad (32)$$

در معادله بالا  $S_D$  جابه جایی طیفی برای زلزله 1.0g و  $\delta_{\max}$  حداکثر جابه جایی سیستم تک جرمی معادل است. نتایج محاسبات پاسخ غیرخطی و شکل پذیری ساختمان مورد مطالعه در جدول (۵) خلاصه شده است. از آنجایی که تمام طبقات به طور همزمان به مرحله جاری شدن نمی‌رسند و با توجه به معادله (۲۴)، ضریب اصلاح شکل مدد غیرخطی  $<2.8$  ( $m.f < 1$ ) قرار دارد که در اینجا ( $m.f = 2.0$ ) منظور می‌شود. مقادیر پاسخ طیفی با درونیابی به دست آمده‌اند.

### ۳-۵- گام ترکیب ارزیابی ایمنی

با ارزیابی نتایج بالا چنین استنباط می‌شود که ساختمان مورد مطالعه ضوابط لازم برای مقاومت و شکل پذیری را تامین نمی‌کند. این ساختمان در منطقه I قرار دارد، بنابراین به عنوان گروه IV طبقه بنده می‌شود. به این ترتیب، ساختمان به صورت نامن ارزیابی شده و نیازی به مطالعه در مراحل بعدی نیست.

### ۴- مقایسه نتایج با تحلیل IDARC

برای ارزیابی روش ارائه شده، سازه مورد مطالعه با نرم‌افزار IDARC مدلسازی و تحلیل شده است [۱۲]. این برنامه برای تحلیل دینامیکی غیرخطی و تعیین ضریب خسارت ساختمانهای بتونی مسلح به کار می‌رود. ضریب برش پایه حاصل از این برنامه برابر ۰/۲۵ است که در مقایسه با مقدار ۰/۲۹ حاصل از روش ارائه شده معقول است. همچنین، مکانیزم شکست خمی تیرها و خسارت شدید طبقه دوم به علت ارتفاع زیاد آن نسبت

صورت ضریب برش در جهت شمال - جنوب در جدول (۴) ارائه شده است. همان طور که ملاحظه می‌شود مقاومت برشی طبقات بیشتر از مقاومت خمی است. در نتیجه نوع شکست ساختمان خمی است. به علاوه چون شکست در طبقه دوم اتفاق می‌افتد پس باید ضریب برش پایه اصلاح شود و از معادله (۱۸) این ضریب برابر است با

$$C'_{byl} = 0.29 \times 0.66 \times \frac{4+1}{4+2} = 0.16 \quad (28)$$

### ۳-۳- گام ارزیابی ایمنی مقاومت

ضریب برش پایه خطی ( $C_E$ ) از معادله (۱۹) و به کمک طیف پاسخ خطی تعیین می‌شود. با فرض جرم و سختی یکسان برای طبقات، ضریب مشارکت مدد اصلی از تحلیل مدد محاسبه می‌شود و داریم

$$\begin{aligned} (\beta u)_1 &= 0.431, & (\beta u)_2 &= 0.809, & (\beta u)_3 &= 1.091 \\ (\beta u)_4 &= 1.214 \end{aligned} \quad (29)$$

$$\begin{aligned} C_E &= 0.886 S_a = 0.93 & \text{برای زلزله } 0.3g \\ & & \text{برای زلزله } 0.45g \end{aligned} \quad (30)$$

مقایسه ضریب برش پایه ساختمان،  $C'_{byl}$  با ضریب  $C_E$  نشان می‌دهد که ایمنی ساختمان از نظر مقاومت تامین نشده است.

### ۴- گام ارزیابی ایمنی شکل پذیری

در این گام به سیستم تک جرمی معادل و طیف پاسخ غیرخطی نیاز داریم. مقاومت برش پایه سیستم تک جرمی معادل از معادله (۲۰) برابر است با

$$K_y = C'_{byl} / 0.886 = 0.18 \quad (31)$$

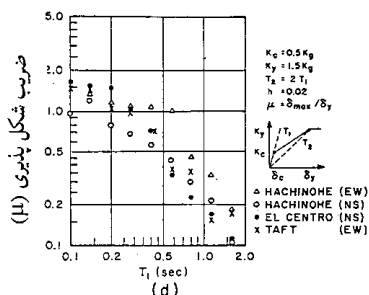
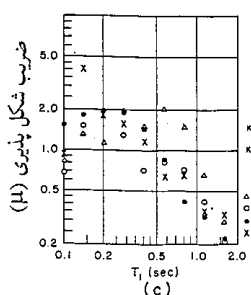
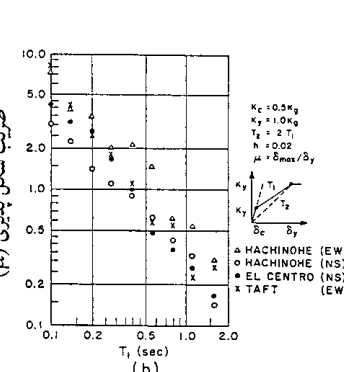
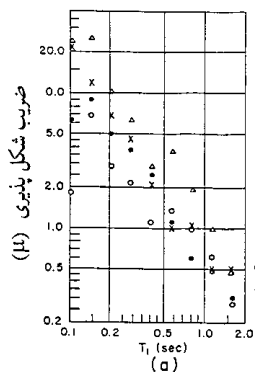
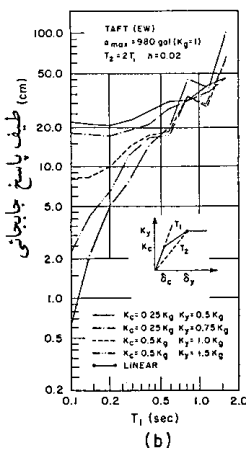
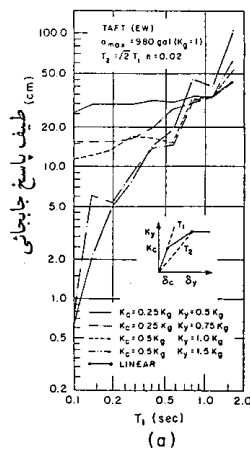
حال با مراجعه به طیف پاسخ غیرخطی، ایمنی شکل پذیری ارزیابی می‌شود. با توجه به شکست (خمی) سازه، مدل هیسترزیس سه خطی کاهنده انتخاب می‌شود. به علت در دسترس نبودن طیف پاسخ غیرخطی زلزله‌های ایران در اینجا طیف پاسخ غیرخطی زلزله ۱۹۵۲ تفت (مؤلفه EW) مطابق شکل (۱۸) به عنوان مثال در نظر گرفته می‌شود [۱۰]. پارامتر  $K_y$  در این شکل بیانگر حداکثر شتاب نرمال شده، و پارامترهای

جدول ٤- مقاومت برشی و خمسمی بر حسب ضریب برش طبقات (بر حسب تن - متر)

$\bar{C}_{yi}$	$\bar{C}_i$	$C_{byi}$	$Q_{byi}$	$C_{sci}$	$Q_{sci}$	$\sum A_i$	$\sum W_i$	طبقه (i)
٣/١	١/٦	٠/٩	٩٨/٢	٢/٢٥	٢٤٥	١/٧٩٥	١٠٩	٤
٠/٩	١/٤	٠/٢٦	٥٦/٩	١/١٢	٢٤٥	١/٧٩٥	٢١٨	٣
٠/٧٦	١/٢	٠/١٩	٦٣/٧	٠/٧٥	٢٤٥	١/٧٩٥	٣٢٧	٢
١/٠	١/٠	٠/٢٩	١٢٧	٠/٧٤	٣٢٢	٢/٢٢	٤٣٦	١

جدول ٥- پاسخ غیرخطی و شکل پذیری سیستم تک جرمی معادل و طبقه اول ساختمان (cm)

$B\mu_0$	$B\delta_{max}$	$\mu_0$	$\delta_{max}$	$K_y/K_g$	$K_y$	$K_g$
>٢٦	>٦	>١٣	>٢٥	٠/٦	٠/١٨	٠/٣
>٤٨	>١٣	>٢٤	>٣٥	٠/٤	٠/١٨	٠/٤٥



شکل ١٨- طیف پاسخ غیرخطی زلزله

[١١] تفت ١٩٥٢

نظریه حاکم، عملیات ارزیابی بسیار ساده و با صرف زمان بسیار اندک قابل انجام است. این روش از مسائل کیفی که همان برداشتهای میدانی از ساختمان است شروع شده و با کمک گیری از معادلات پیچیده‌دینامیکی، معادلات بس ساده برای ارزیابی این گونه سازه‌ها پیشنهاد می‌کند. مزیت روش توسعه یافته حاکمی از دقت مناسب، سرعت بالا و صرف هزینه کم برای ارزیابی است.

### تشکر و قدردانی

بدین وسیله از حمایت مالی کمیته فرعی - تخصصی مقابله با خطرات ناشی از زلزله و لغزش لایه‌های زمین - کمیته ملی کاهش اثرات بلایای طبیعی وزارت کشور سپاسگزاری و قدردانی به عمل می‌آید.

به طبقات دیگر در هر دو روش مشاهده می‌شود. نتایج تحلیل IDARC به دلیل اختصار ارائه نشده است.

### ۵- جمعبندی

این مقاله حاصل تحقیق ویژه‌ای است که برای کمیته فرعی - تخصصی مقابله با خطرات ناشی از زلزله و لغزش لایه‌های زمین برای توسعه روشی به منظور برآورد ارزیابی مقاومت و شکل پذیری ساختمانهای بتن مسلح کوتاه و کم ارتفاع در کشور صورت گرفته است. در این روش یک برنامه گام به گام برای تعیین معادلات حاکم در آسیب پذیری سازه‌های بتونی ارائه شده است. در مرحله اول شاید بسط معادلات، نشان از پیچیده بودن عملیات ارزیابی را تداعی کند لیکن همان گونه که در ارزیابی ساختمان نمونه دیده شد، پس از درک و تفہیم دقیق

### واژه نامه

1. origin-oriented

2. degrading-trilinear

3. modified degrading trilinear

### مراجع

1. Aoyama, H., "A Method for Evaluation of the Seismic Capacity of Existing Reinforced Concrete Buildings in Japan," Bulletin of the N. Z. National Society for Earthquake Eng., Vol. 14, No. 3, 1981.
2. Murakami, M., and Penzien, J., "Nonlinear Response for Probabilistic Seismic Design and Damage Assessment of Reinforced Concrete Structures," EERC 75-38, 1975.
3. "Limiting Design of R. C. Buildings," Structural Research Series, No. 516, Univ. of Illinois, 1984.
4. Aoyama, H., et. Al., "A Study on the Earthquake Resistant Design of Reinforced Concrete School Buildings," U. S.- Japan Seminar on Earthquake Engineering, Berkeley, California 1973.
5. Umemura, et. Al., "Earthquake Resistant Design of Reinforced Concrete Buildings, Accounting for the Dynamic Effects of Earthquakes," Giho-do, Tokyo, 1973.

۶. ناطق الهی، ف.، و اباسهله، ف.، ارزیابی مقاومت و عملکرد سازه‌های بتون آرمه در برابر زمین‌لرزه، انتشارات پژوهشگاه

بین المللی زلزله شناسی و مهندسی زلزله، گزارش ۶-۷۳-۶۴، ۱۳۷۳، مهرماه ۱۷۶ صفحه.

۷. ناطق الهی، ف.، و معتمدی، م. ارزیابی کمی آسیب پذیری ساختمانهای بتون مسلح با استفاده از تحلیل دینامیکی غیرخطی، انتشارات پژوهشگاه بین المللی زلزله‌شناسی و مهندسی زلزله، گزارش ۱۴-۹۸-۹۷-۷۷، ۱۳۷۷، ۲۲۴ صفحه.

۸. الوندی، ع.، "روش سریع برای ارزیابی اینمی لرزه‌های ساختمانهای بتون مسلح کوتاه،" پایان نامه کارشناسی ارشد، دانشکده تحصیلات تکمیلی - واحد جنوب دانشگاه آزاد، ۱۳۷۷، زیر نظر دکتر فریبرز ناطقی الهی و مهندس نقدعلی حسینزاده.

۹. ناطق الهی، ف.، و حسین زاده، ن. ع.، ارزیابی مقاومت و شکل پذیری ساختمانهای بتون مسلح کوتاه، انتشارات کمیته

ملی کاوش بلایای طبیعی - کمیته تخصصی زلزله،  
اردیبهشت ۱۳۷۹، ۱۳۴ صفحه، (در دست چاپ).

10. Okada, T., "A Proposal for the Principle of Preliminary Earthquake Resistant Design of Reinforced Concrete Buildings," U. S. – Japan Seminar on Earthquake Engineering, Berkeley, California, 1973.
11. Umemura, H., "Earthquake Resistant Design of Structures From Wooden Frame to High-Rise," Kozai Kurabu, Tokyo, Japan, 1972.
12. Park. Y. J., Reinhorn A. M., and Kannath, S. K., "IDARC: Inelastic Damage Analysis of Reinforced Concrete Frame-Shear-Wall Structures." Technical Report NCEER-870008, 1987.

۱۳. آئین نامه طرح ساختمانها در برابر زلزله - استاندارد ۲۱۰۰  
زلزله ایران، ویرایش اول، مرکز تحقیقات ساختمان و  
مسکن، ۱۳۶۶.

14. ACI, "Building Code Requirements for Reinforced Concrete (ACI-318-83)," Detroit, Michigan, November 1983.
15. حسینزاده، ن.ع، "مطالعه تجربی اثرات اندرکنش خاک-  
ساژه در آسیب‌پذیری لرزه‌ای ساختمانهای مجاور هم روی  
میز لرزان،" پایان‌نامه دکتری، پژوهشگاه بین‌المللی  
زلزله‌شناسی و مهندسی زلزله، به راهنمایی دکتر فریبرز  
ناطقی‌الهی (در دست چاپ).